

FOTO nº 9231 LB

Aspecto de niveles arenosos y pelíticos alternantes de la Unidad Inferior del C.E.G. (7). Se puede apreciar la esquistosidad S_1 que buza menos que los planos que definen la estratificación (So).



FOTO nº 9232 LB

Niveles arenosos con alguna laminación pelítica. Unidad Inferior del C.E.G. (7).



FOTO nº 9233 LB

Laminaciones paralelas en una serie arenosa del C.E.G. (Unidad Inferior) (7). Los niveles más grisáceos corresponden a intercalaciones pelíticas.



FOTO nº 9234 LB

Detalle de la fotografía anterior.



FOTO nº 9235 LB

Aspecto de un afloramiento de grauvacas y pelitas del C.E.G., Unidad Inferior (7).



FOTO nº 9236 LB

Detalle de la fotografía anterior donde se puede apreciar un nivel pelítico en la base, otro arenoso, en la zona media y microconglomerático a techo.



FOTO nº 9237 LB

Niveles arenosos con intercalaciones de pizarras negras, pertenecientes al C.E.G. (Unidad Superior) (p). Observese la marcada esquistosidad S_1.

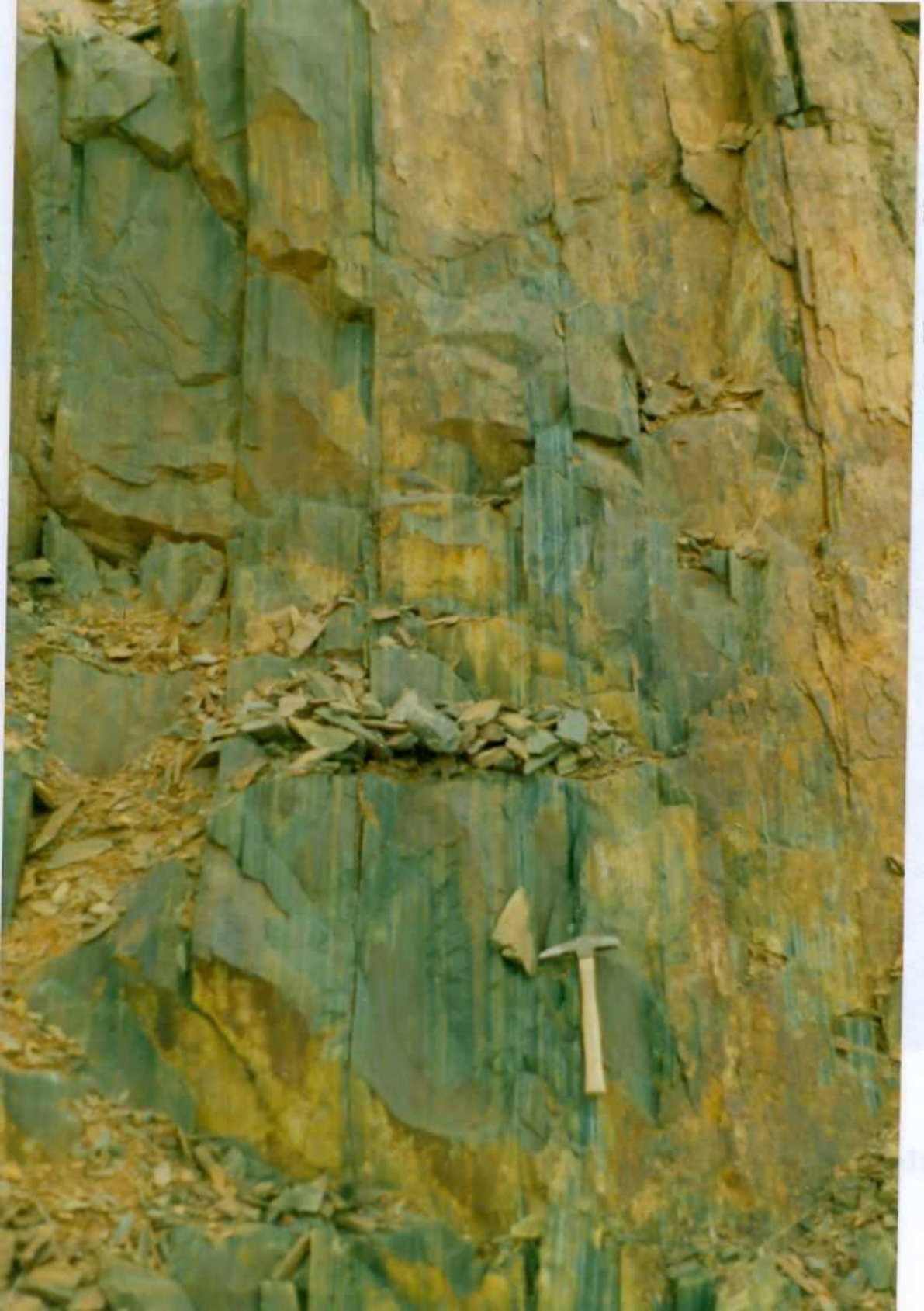


FOTO nº 9238 LB

Aspecto de un afloramiento de pizarras negras del C.E.G. Unidad Superior (p).



FOTO nº 9239 LB

Detalle de la fotografía anterior.



FOTO nº 9240 LB

Aspecto de los niveles carbonatados de la Unidad Superior del C.E.G. (8).



FOTO nº 9241 LB

Detalle de un nivel carbonatado detrítico de la fotografía anterior.



FOTO nº 9242 LB

Detalle de un nivel de brecha calcárea situado a techo de la serie calcárea (8) de la Unidad Superior del C.E.G.



FOTO nº 9243 LB

Otro detalle del nivel de brecha de la fotografía anterior.



FOTO nº 9244 LB

Detalle de niveles pelíticos "Slumpizados" en la Unidad Superior del C.E.G.

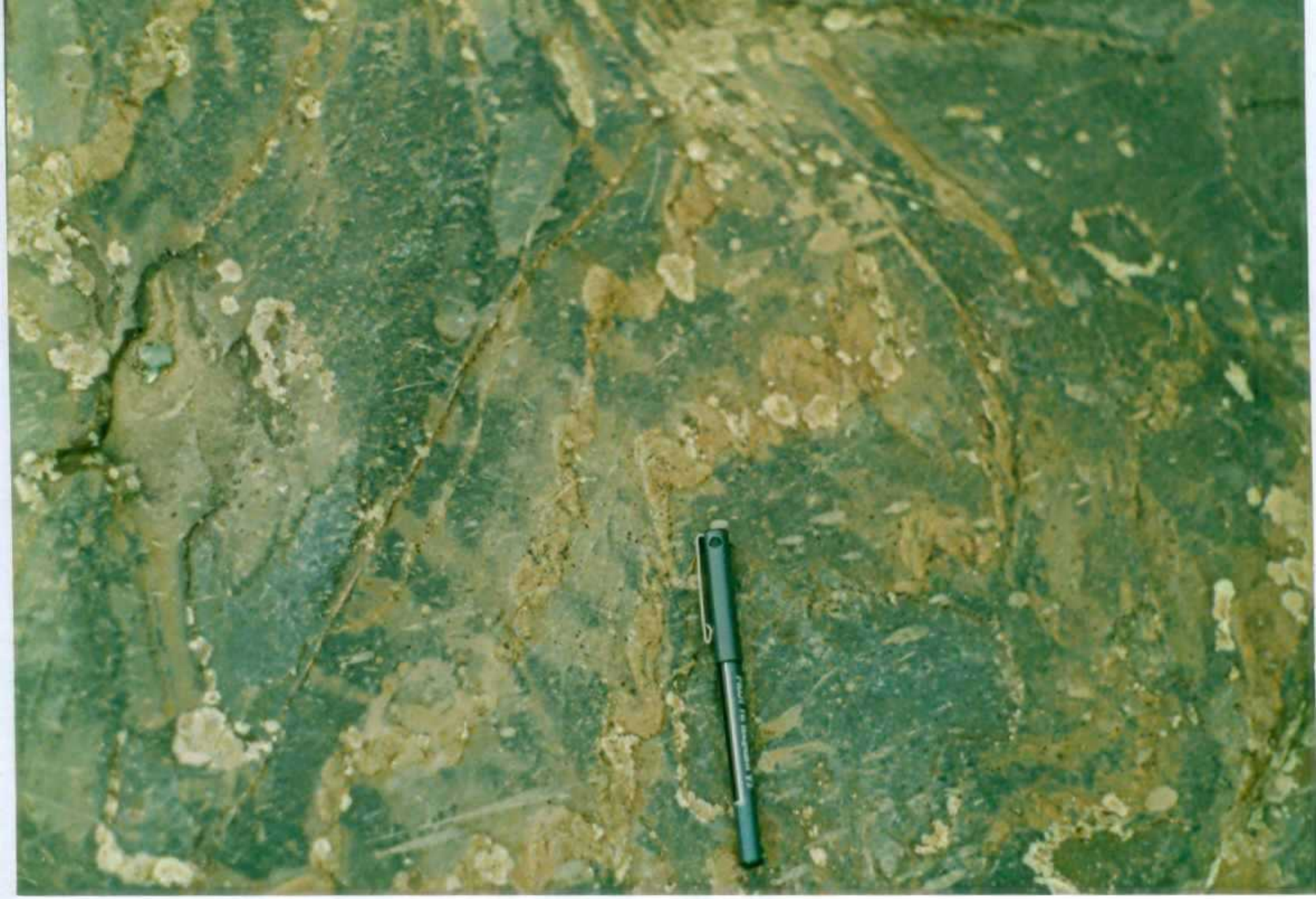


FOTO nº 9245 LB

Otro detalle de los niveles "Slumpizados" de la fotografía anterior.



FOTO nº 9246 LB

Pliegue de primera fase Hercínica afectando a niveles pelíticos del C.E.G., Unidad Superior (9). El eje del pliegue se dispone con una dirección próxima N-S.



FOTO nº 9247 LB

Pequeño pliegue de primera fase en los niveles de pizarras negras del C.E.G. Unidad Superior (p).



FOTO nº 9248 LB

Aspecto de un pequeño afloramiento de pizarras negras (p) donde se puede apreciar la esquistosidad S_1, sensiblemente paralela al eje mayor del lápiz y una crenulación normal a dicha dirección.



FOTO nº 9249 LB

Vista parcial de la serie de conglomerados y areniscas de grano grueso (10) del Oligoceno, al E. de Ituero.



FOTO nº 9250 LB

Otro aspecto de la serie de la fotografía anterior.



FOTO nº 9251 LB

Aspecto de un talud en arenas feldespáticas rojizas del Oligoceno (11).



FOTO nº 9252 LB

Apecto de la unidad de arenas y arenas feldespáticas del Oligoceno (12), en el área de Alamedilla.



FOTO nº 9253 LB

Vista de un talud en las unidades del Mioceno.

- Arenas, arenas gruesas y gravas con cantos (13)
- Gravas y cantos (14)

El límite entre ambas unidades quedaría marcado aproximadamente en el nivel de cantos.



FOTO nº 9254 LB

Detalle de la fotografía anterior.



FOTO nº 9255 LB

Vista de la superficie del glacis Plioceno (15) en el área de Alamedilla.



FOTO nº 9256 LB

Detalle de la fotografía anterior.



FOTO nº 9257 LB

Aspecto de la llanura aluvial (19) de la Rivera de Azaba y de su terraza baja (18).



FOTO nº 9258 LB

Aspecto de una explotación de arenas en la terraza baja de la Rivera de Azaba.

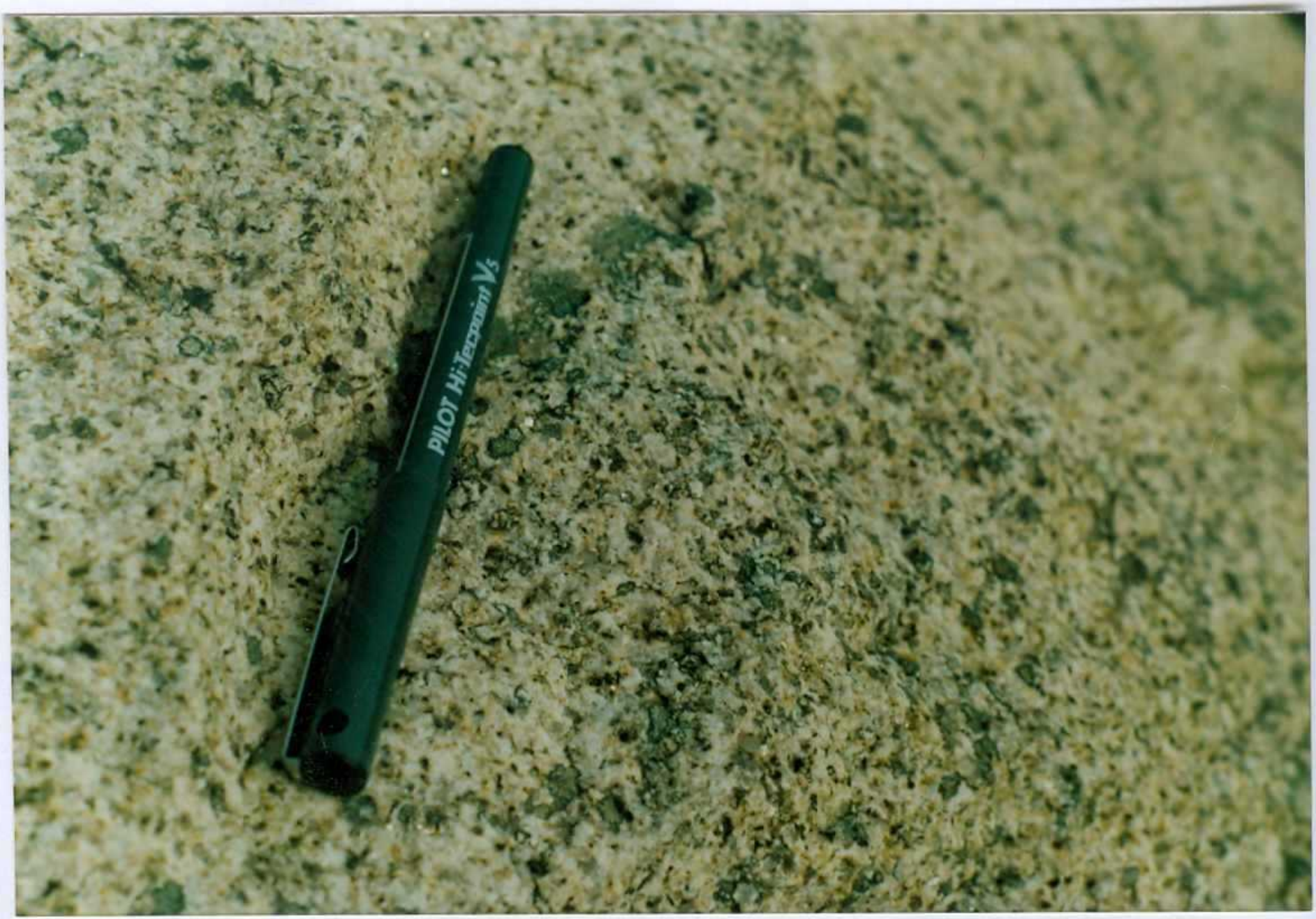


FOTO nº 9259 LB

Detalle de los granitos biotíticos ± moscovita y de grano fino (6), al NE de la Alberguería.



FOTO nº 9260 LB

Otro detalle del afloramiento de la fotografía anterior.



FOTO nº 9261 LB

Detalle de un afloramiento de granito biotítico ± moscovita de grano grueso y porfídico (4)



FOTO nº 9262 LB

Detalle de la facies granítica de la fotografía anterior donde se puede apreciar claramente su carácter porfídico.